

Куренный Э.Г., Коломытцев А.Д.

Оценка несинусоидальности напряжения без разложения в ряд Фурье. – Донецк, 1986. – 10 с. Деп. в УкрНИИТИ 15.01.87, № 187-Ук87.

При оценке несинусоидальности напряжения исходными для расчетов являются графики $u_n(t)$ мгновенных значений помехи, которые могут быть получены путем осциллографирования в действующих электрических сетях или расчетным путем при проектировании. Затем уже можно получить график изменения $U_n(t)$ действующих значений напряжения помехи, каждая ордината которого равна эффективному значению напряжения графика $u_n(t)$ за цикл $t_f=0,02$ с.

Обычно действующее значение U_n помехи вычисляется с помощью разложения в ряд Фурье. Однако этот способ недостаточно эффективен, так как требует большого количества промежуточных вычислений, а для случайных помех неприемлем, поскольку понятие отдельной гармоники в этом случае не имеет смысла.

Рассмотрим способ вычисления КНС, основанный на более общей трактовке этого показателя. По смыслу КНС

$$K_{нсU} = \frac{U_n}{U_1} \cdot 100, \% \quad (1)$$

представляет собой отношение действующих значений напряжений U_n помехи и U_1 основной частоты, которые подлежат вычислению.

Если значения U_1 меняются во времени медленно, то можно принять следующее допущение: среднее значение мгновенных значений напряжения в пределах длительности $t_f = 1/f$ любого цикла равно нулю. Тогда корректно говорить о гармониках каждого цикла, величина и состав которых могут меняться от цикла к циклу.

В этом случае в выражении для первой гармоники

$$u_1(t) = U_{M1} \sin \omega_f t = \sqrt{2}U_1 \sin \omega_f t \quad (2)$$

с угловой частотой $\omega_f = 2\pi f$ амплитуда U_{M1} будет постоянной, а отсчет времени t удобно производить от начала цикла.

В проектной практике процесс (2) является известным, так как напряжение на шинах источника питания считается неизменным.

Суть предлагаемого способа состоит в выделении помехи $u_n(t)$ и вычислении ее эффективного значения не по сумме квадратов действующих значений напряжений гармоник, а непосредственно по формуле

$$U_{\Pi} = \sqrt{\frac{1}{t_f} \int_0^{t_f} u_{\Pi}^2(t) dt}, \quad (3)$$

не требующей предварительного вычисления коэффициентов ряда Фурье.

При вычислении на ЭВМ цикл разбивается на N ординат, считаваемых с малым шагом квантования Δ . Тогда

$$U_{\Pi} \approx \sqrt{\frac{1}{t_f} \sum_{j=1}^N u_{\Pi}^2(j\Delta)}.$$

При ручном счете целесообразно построить УД $u_{\Pi y}(t_y)$ графика помехи (рис. 1), заменить ее отрезки ломаной, а затем вычислить искомое значение

$$U_{\Pi} = \sqrt{\frac{1}{t_f} \int_0^{t_f} u_{\Pi y}^2(t_y) dt_y} \approx \sqrt{\frac{1}{3t_f} \sum_{g=1}^m (u_{H2}^2 + u_{H2}u_{K2} + u_{K2}^2) t_2},$$

где u_{Hr} и u_{Kr} — начальная и конечная ординаты r -го отрезка ломаной длительностью t_r , m — количество отрезков.

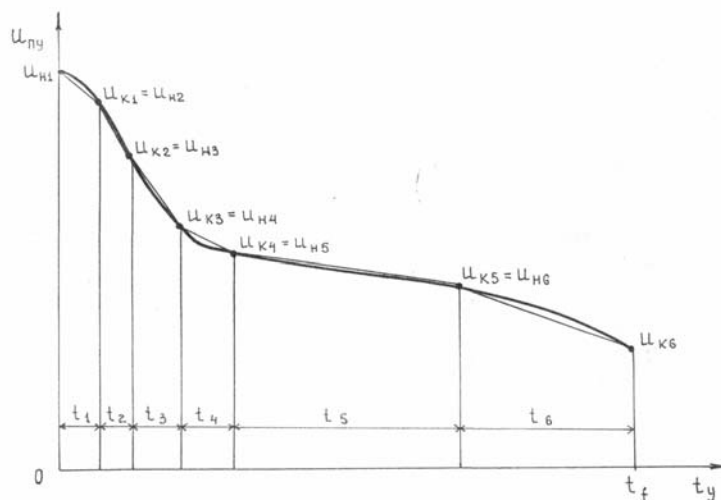


Рисунок 1 – Вычисление эффективного значения помехи при упорядоченной диаграмме графика помехи

В случае, если положение начала цикла записанной в действующей сети осциллограммы напряжения определено и не вызывает сомнений, наименее трудоемким представляется следующий способ выделения помехи

$u_{\text{п}}(t)$. На график $u(t)$ наносится синусоида, амплитуда которой $\tilde{U}_{\text{М1}}$ выбирается приблизительно. Затем строится график разности

$$\tilde{u}_{\text{п}}(t) = u(t) - \tilde{U}_{\text{М1}} \sin \omega_f t$$

и его УД $\tilde{u}_{\text{пн}}(t_y)$, по которой вычисляется первое приближение для среднего значения помехи:

$$\tilde{u}_{\text{пс}} = \frac{1}{2t_f} \sum_{r=1}^m (\tilde{u}_{\text{нр}} + \tilde{u}_{\text{кр}}) t_r .$$

Поскольку помеха имеет нулевое среднее значение, то отличие от нуля значения $\tilde{u}_{\text{пс}}$ свидетельствует о необходимости уточнения амплитуды первой гармоники именно на величину $\tilde{u}_{\text{пс}}$. Тогда окончательное значение амплитуды первой гармоники будет

$$U_{\text{М1}} = \tilde{U}_{\text{М1}} + \tilde{u}_{\text{пс}} . \quad (4)$$

После этого строится график помехи

$$u_{\text{п}}(t) = u(t) - U_{\text{М1}} \sin \omega_f t$$

и уже по этому графику или по его УД $u_{\text{пн}}(t_y)$, в соответствии с (3) и (1) определяются $U_{\text{п}}$ и КНС.

Если положение начала цикла является неопределенным, то в этом случае вычисление амплитуды и фазы первой гармоники с использованием формул для коэффициентов ряда Фурье может быть оправданным.

Кроме того, возможен и другой путь, основанный на непрерывном осреднении графика $u(t)$ за скользящий вдоль оси времени интервал времени θ . Чтобы избежать сдвига фаз между исходной и осредненной синусоидами, текущие значения осредненного процесса

$$u_{\theta}(t) = \frac{1}{\theta} \int_{t-\theta/2}^{t+\theta/2} u(t) dt \quad (5)$$

будем относить к середине интервала осреднения.

Амплитуда $U_{\text{Мn}}$ гармоники в результате осреднения (5) будет уменьшаться в

$$A_{Mn} = \frac{1}{\pi n \theta_*} |\sin \pi n \theta_*|$$

раз, где $\theta_* = \theta / t_f$. Тогда для n -й гармоники после осреднения получим процесс

$$u_{\theta n}(t) = U_{Mn} A_{\theta n} \sin \omega_n t. \quad (6)$$

Соответствующим выбором длительности θ можно добиться того, что для любых $n > 1$ осредненные процессы (6) вырождаются в нулевую горизонталь, а останется лишь осредненный процесс первой гармоники:

$$u_{\theta 1}(t) = U_{M\theta 1} \sin \omega_f t = U_{M1} A_{\theta 1} \sin \omega_f t, \quad (7)$$

амплитуда которого $U_{M\theta 1}$ в $A_{\theta 1}$ раз меньше U_{M1} .

Таким образом, значение θ должно быть с одной стороны достаточно большим, чтобы гармоники с $n > 1$ в осредненном процессе практически отсутствовали, но с другой стороны не настолько, чтобы амплитуда $U_{M\theta 1}$ процесса (7) была бы близка к нулю.

Первое требование выполняется тогда, когда амплитуда процесса (6) окажется меньше заданной допустимой погрешности α считывания ординат первой гармоники, т.е. когда $U_{Mn} A_{\theta n} < \alpha U_{M1}$ или

$$A_{\theta n} < \alpha U_1 / U_n. \quad (8)$$

Требования для КНС выполняются при $U_n / U_1 \leq 5\%$. Поэтому для обеспечения достоверности считывания ординат помехи должно обеспечиваться условие $\alpha \ll 0,05$.

Второе требование обеспечивается, если относительное уменьшение амплитуды процесса (7) не превысит заданной величины β , то есть

$$A_{\theta 1} = \frac{|\sin \pi \theta_*|}{\pi \theta_*} > \beta. \quad (9)$$

Неравенства (8) и (9) можно решить графически, проводя горизонталь $A_{\theta n} = \alpha U_1 / U_n$ и $A_{\theta 1} = \beta$. При этом, горизонталь на графике $A_{\theta 1}(\theta_*)$ проводится один раз, а на графике $A_{\theta n}(\theta_*)$ они проводятся для различных значений α . В результате при фиксированном β получаются области возможных значений α и θ .

Полученный график процесса (5) дает не только положение момента $t=0$, но и позволяет определить амплитуду первой гармоники

$$U_{M1} = U_{M1\theta} A_{\theta 1} \quad (10)$$

без уточнения и использования (4).

Более целесообразным представляется использовать инерционное сглаживание процесса $u(t)$ апериодическим звеном первого порядка с постоянной инерции T . При подаче на вход звена n -й гармоники на выходе наблюдается инерционный процесс

$$u_{Tn}(t) = U_{MTn} \sin \omega_n t,$$

амплитуда U_{MTn} которого в

$$A_{Tn} = \frac{1}{\sqrt{1 + \omega_n^2 T^2}} = \frac{1}{\sqrt{1 + 4\pi^2 T_*^2}}$$

раз меньше U_{Mn} , где $T_* = T / t_f$.

При больших постоянных инерции звеном будет выделяться только инерционный процесс от первой гармоники

$$u_{T1}(t) = U_{MT1} \sin \omega_f t \quad (11)$$

с фазой

$$\varphi_{T1} = -\arctg \omega_f T = -\arctg 2\pi T_* . \quad (12)$$

Амплитуда первой гармоники может быть вычислена по формуле

$$U_{M1} = U_{MT1} / A_{T1} = U_{MT1} \sqrt{1 + \omega_f^2 T^2} . \quad (13)$$

Выбор постоянной инерции производится из тех же соображений, что и длительность осреднения. Но в отличие от (3.32) и (3.33) решение здесь получается в конечном виде:

$$\frac{1}{2\pi n} \sqrt{\frac{U_n}{\alpha U_1} - 1} < T_* < \frac{1}{2\pi\beta} \sqrt{1 - \beta^2} , \quad (14)$$

а области возможных значений T_* и α при заданном β непрерывны (рис. 2).

Необходимо отметить, что инерционное сглаживание менее удобно для проведения расчетов, чем осреднение.

В случае, если действующее значение помехи U_{Π} меняется во времени, то график изменения $U_{\Pi}(t)$ можно получить путем последовательной обработки каждого цикла процесса $u(t)$.

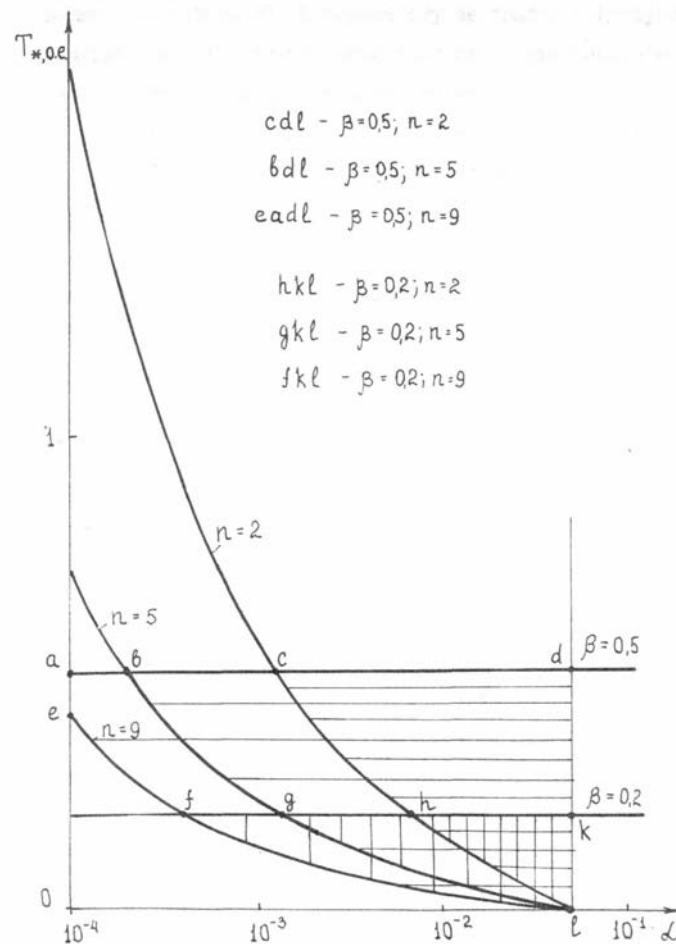


Рисунок 2 – Определение областей возможных значений T_* и α для различных гармоник напряжения